

05.4
©1994

ВЫСОКОТЕМПЕРАТУРНЫЕ СВЕРХПРОВОДЯЩИЕ ПОКРЫТИЯ НА НИХРОМОВЫХ ПОДЛОЖКАХ

*Е.М. Гололобов, Н.А. Примкова,
Ж.М. Томило, Д.М. Турцевич,
Н.М. Шиманская, Н.Ф. Ладутько*

Проблема изготовления высокотемпературных сверхпроводящих (ВТСП) пленок и покрытий на металлических подложках, имеющих определенное преимущество перед обычно используемыми в электронной промышленности подложками (MgO , Al_2O_3 , Si и др.) [1,2], является центральной при изготовлении токонесущих сильноточных конструкций, где морные и механические характеристики имеют не менее важное значение, чем сверхпроводящие параметры.

Как показал обзор имеющихся в литературе данных, чаще всего исследуются ВТСП пленки и покрытия на металлических подложках из серебра, никеля, меди, титана, нержавеющей стали [3–11]. Среди перечисленных подложек можно выделить никелевые, благодаря, во-первых, возможности получать высокотемпературные сверхпроводящие покрытия на гибкой и прочной основе [1]. Во-вторых, высокая температура плавления никеля, превышающая температуры кристаллизации ВТСП материалов [2], позволит использовать такие методы, как кристаллизация из расплава при получении длинномерных сверхпроводящих проводов [4]. Отмечается наименьшее изменение температуры перехода в сверхпроводящее состояние T_c при частичной замене атомов меди атомами никеля по сравнению с другими металлами (Co , Fe , Ga) [12]. Направленный текстурированный рост пленок и покрытий может также существенно снизить диффузию атомов Ni в сверхпроводящий материал [13]. Два последних обстоятельства позволяют расширить рамки как получения, так и эксплуатации ВТСП композитов на основе никеля.

Для предотвращения взаимной диффузии материалов подложки и покрытий нередко используются буферные слои [2,4]. Может оказаться перспективным в этом отношении использование металлических подложек сложного состава на основе никеля. В литературе есть несколько сообще-

ний об использовании таких металлических подложек, как Ni-Cr-Mo [^{14,15}], Ni-Cr-Al [¹⁶].

В данной работе представлены результаты исследования технологических режимов получения иттрий- и висмутсодержащих ВТСП покрытий на никромовых подложках. Приводится сравнительный анализ с результатами, полученными при исследовании сверхпроводящих покрытий этих же классов сверхпроводников на никелевых подложках [¹⁷].

Иттриевые ВТСП покрытия были получены твердофазным синтезом при высокой температуре, висмутсодержащие — методом кристаллизации из расплава с последующим отжигом [¹⁸]. Исходными компонентами служили мелкодисперсные порошки окислов Y_2O_3 , Bi_2O_3 , CuO и карбонатов $BaCO_3$, $SrCO_3$, $CaCO_3$. Формирование сверхпроводящей фазы в покрытиях осуществлялось в два этапа. Для иттрийсодержащих покрытий первый этап проводился с варьированием температуры в пределах $960 - 1000^\circ C$ и времени 1–10 минут; для висмутсодержащих — при интервалах температур $880 - 950^\circ C$ и времени 1 – 10 минут. Режимы второго этапа — отжига: для иттрийсодержащих покрытий температурный интервал — $880 - 960^\circ C$, временной — 5 – 60 минут, для висмутсодержащих — $480 - 850^\circ C$ и от 5 минут до 20 часов. Оба этапа проводили на воздухе. Для висмутсодержащих покрытий наряду с составами $BiSrCaCu_2O_y$ (Bi -1112), $Bi_2Sr_2CaCu_2O_y$ (Bi -2212) и $Bi_{1.6}Pb_{0.4}Sr_2Ca_2Cu_3O_y$ (Bi -2223) использовался состав с частичной заменой атомов меди на атомы лития ($Bi_{2.2}Sr_{1.8}CaCu_{1.2}Li_{0.8}O_y$), на котором получены не только более высокие T_c° ($92 - 98 K$), но и материалы с лучшими механическими свойствами [¹⁹]. Для иттрийсодержащих покрытий использовалась шихта, соответствующая стехиометрическому составу соединения $YBa_2Cu_3O_7$. С целью поиска путей улучшения характеристик покрытий как висмутсодержащих, так и иттрийсодержащих, были использованы также составы с органическими добавками (С-Н-Н). Никромовые подложки представляли собой пластины толщиной от 0.1 до 0.5 мм. Покрытия наносились, как и в случае с никелевой подложкой [¹⁷], непосредственно на поверхность подложки. Для определения фазового состава покрытий использовался ДРОН-3 с $Cu K_\alpha$ -излучением. Сверхпроводящие свойства исследовались резистивным четырехконтактным способом. Толщина покрытий составляла 50–300 мкм.

На рис. 1 представлены результаты резистивных измерений образцов иттриевых ВТСП покрытий на никромовой подложке И23 с максимальной $T_c^0 \sim 89 K$ и на никеле-

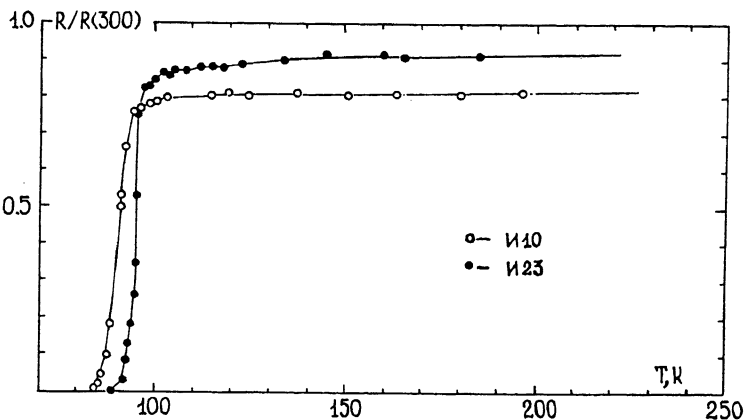


Рис. 1. Зависимость $R(T)$ для Y-ВТСП покрытий на никромовой подложке (образец И23) и на никелевой подложке (образец И10).

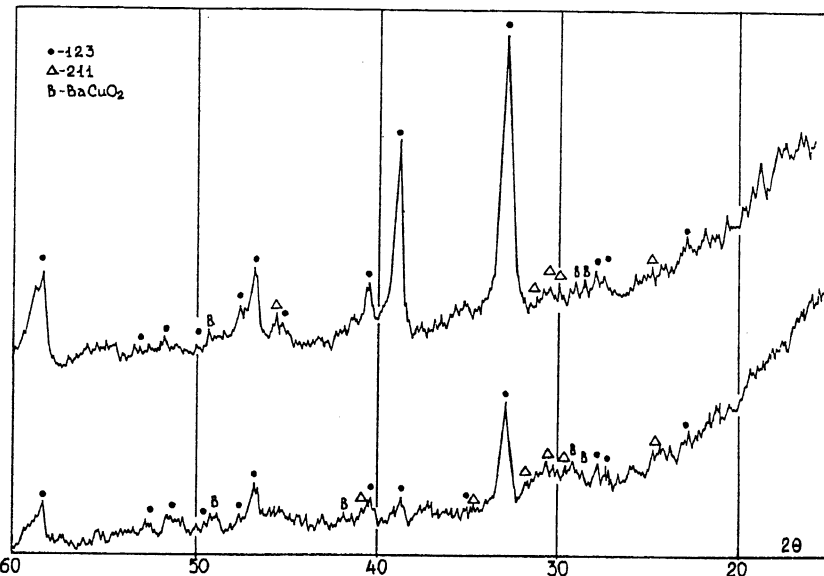


Рис. 2. Дифрактограммы Y-ВТСП покрытий на никромовой подложке (образец И23) и на никелевой подложке (образец И10).

вой фольге И10 также с максимальной для этой подложки

T_k^0 , равной ~ 84.5 К. Дифрактограммы этих двух покрытий (рис. 2) свидетельствуют о том, что иттриевые ВТСП покрытия на никромовой подложке можно получить с более совершенными структурой и составом. Для образования покрытия И23 потребовались более длительные (почти удвоенные) временные периоды на первом и втором этапах формирования сверхпроводящей фазы и более высокие температуры отжига в сравнении с режимами получения иттриевых ВТСП покрытий на никелевой подложке [17]. Следует однако отметить, что использование никромовой подложки для иттриевых ВТСП покрытий требует более узких рамок (T и t) технологического процесса для формирования качественных сверхпроводящих слоев с высокими значениями T_k^0 . Этот факт сильно проявляется в снижении воспроизводимости получения покрытий с высокими температурами сверхпроводящего перехода на никромовых подложках по сравнению с никелевыми. Можно предположить, что атомы хрома активно реагируют с компонентами, входящими в состав иттриевых ВТСП покрытий, образуя такие соединения, как, например, $BaCrO_4$ [20], нарушая при этом стехиометрию сверхпроводящего соединения $YBa_2Cu_3O_7$, что в итоге приводит к подавлению сверхпроводимости иттрийсодержащих ВТСП покрытий. Использование органических компонентов как в виде добавок в исходную шихту, так и при высокотемпературной обработке подложки, не дало положительных результатов. Максимальное значение T_k^0 таких покрытий равно ~ 40 К.

Ранее мы получили висмутсодержащие ВТСП покрытия на подложке из никеля без буферного слоя с максимальной T_k^0 , равной ~ 76 К [17]. При использовании сверхпроводящих материалов на практике значения T_k^0 , превышающие "азотный рубеж" (77.4 К), имеют принципиальное значение. Мы провели большую работу по поиску режимов получения Bi-ВТСП покрытий на никромовых подложках, которая, к сожалению, пока не закончилась успешно. Как более широкое варьирование режимов формирования сверхпроводящих фаз по сравнению с режимами для никелевых подложек, так и использование добавок, смягчающих режимы [19], а также использование буферных слоев не создали условий для формирования сверхпроводящей фазы в висмутсодержащих покрытиях на никромовых подложках. Эти покрытия имели в лучшем случае полупроводниковый характер зависимости $R(T)$ в температурном интервале 4.2–300 К. По-видимому, атомы хрома более активно реагируют с Bi-Sr-Ca-Cu-O покрытием, чем с Y-Ba-Cu-O, поскольку формирование висмутсодержащих покрытий происходит из жидкой фазы.

В результате проведенной работы нам удалось повысить температуру сверхпроводящего перехода Y-BTCP покрытия, используя никромовую подложку без буферного слоя, почти на 5 К. Но использование этого сплава в качестве подложки сужает режимы формирования сверхпроводящей фазы в покрытии, ухудшая тем самым воспроизводимость при получении покрытий с высокими сверхпроводящими параметрами. Сверхпроводящей фазы в Bi-Sr-Ca-Cu-O покрытиях на никромовых подложках методом кристаллизации из расплава с последующим отжигом вообще не удалось получить, возможно, из-за большой активности атомов хрома.

Список литературы

- [1] Nishi Y., Iguchi K., Asano H. et al. // J. of Mater. Sci. Lett. 1989. V. 8. N 11. P. 1362–1364.
- [2] Ginsbach A., Schneider R., Grueninger H.W., G. Grabe. // IEEE Transaction on Magnetics. 1991. V. 27. N 2. P. 1410–1413.
- [3] Nasu H., Miyamoto A., Osaka Y. et al. // J. Ceramic Soc. Jap. 1989. V. 97. N 10. P. 1015–1020.
- [4] Мещеряков О.Л., Корепанов С.А., Сингаевский А.П. и др. // Письма в ЖТФ. 1989. Т. 15. В. 13. С. 76–78.
- [5] Maeda K., Sakamoto N., Namiki Y. et al. // Adv. Superconductivity Proc. 1-st Intern. Symp. 1988; ISS'88-Tokyo. P. 533–537.
- [6] Dimesso L., Francesconi M.G., Celestani G. et al. // Physica C. 1991. V. 176. N 1/3. P. 216–226.
- [7] Chu C.T., Dunn B. // Appl. Phys. Lett. 1989. V. 55. N 5. P. 492–494.
- [8] Dube D., Lambert P., Arsenault B., Champagne B. // Thin Solid Films. 1990. V. 193/194. P. 847–856.
- [9] Fujimoto M., Hojima H., Shintaku H. et al. // Jap. J. of Appl. Phys. 1993. V.32. N 4B. P. L576–L579.
- [10] Остроушко А.А., Квасница К., Видмер Х. и др. // ЖНХ. 1993. Т. 38. В. 3. С. 436–438.
- [11] Chen L., Piazza T.W., Schmidt B.E. et al. // J. of Appl. Phys. 1993. V. 73. N 11. P. 7563–7570.
- [12] Agawel S.K., Moorthy V.N., Bhalla P.I. et al. // Indian J. of Pure and Appl. Phys. 1992. V. 30. N 10/11. P. 586–593.
- [13] Адопкин В.Т., Горелов Б.М., Горбик П.П. и др. // Матер. 1-й Межгосуд. конф. "Материаловедение ВТСП". Харьков, 1993. Т. 3. С. 115–116.
- [14] Narumi E., Song L.W., Yang F. et al. // Appl. Phys. Lett. 1991. V. 58. N 11. P. 1202–1204.
- [15] Saitoh J., Fukutomi M., Tanaka Y. et al. // Jap. J. of Appl. Phys. 1990. V. 29. N 7. P. L1117–L1119.
- [16] Литвин С.Е., Найда В.В., Гречанюк Н.И. // Матер. 1-й Межгосуд. конф. "Материаловедение ВТСП". Харьков, 1993. Т. 4. С. 115–116.
- [17] Гололобов Е.М., Пряткова Н.А., Томило Ж.М. и др. // СФХТ. 1993. Т. 6. В. 2. С. 361–366.

- [18] Гололобов Е.М., Притковеа Н.А., Саевченко В.Ф. и др. // Вестн АН БССР. Сер. физ.-мат. наук. 1991. В. 4. С. 52–55.
- [19] Matsubara I., Tonigawa H., Ogura T. et al. // Appl. Phys. Lett. 1990. V. 56. N 21. P. 2141–2143.
- [20] Weyten H., Heusdains S., Cornelis J. et al. // Silicates Industriels. 1992. V. 7–8. P. 123–128.

Институт физики
твердого тела и полупроводников
Минск, Беларусь

Поступило в Редакцию
19 октября 1993 г.
